

МОДЕЛИРОВАНИЕ НАПРЯЖЕННО-ДЕФОРМИРОВАННОГО СОСТОЯНИЯ ЦИЛИНДРИЧЕСКИХ ТЕЛ КОНЕЧНОЙ ДЛИНЫ ПРИ НАГРЕВЕ И НЕЙТРОННОМ ОБЛУЧЕНИИ

к.т.н. Хвисевич В.М., доц. Веремейчик А.И., Гарбачевский В.В.

УО «Брестский государственный технический университет»

Воздействие температурного поля при одновременном интенсивном облучении высокоэнергетическими частицами приводит к появлению значительных напряжений, которые могут привести к разрушению нагруженного тела. Это требует разработки новых методов расчета конструктивных элементов различной геометрии, подверженных воздействию одновременной терморadiационной и механической нагрузки.

Рассмотрим сплошной короткий однородный цилиндр радиусом R и высотой H , который подвергается воздействию радиационного облучения, температурной нагрузки и внешнего давления (рис. 1).

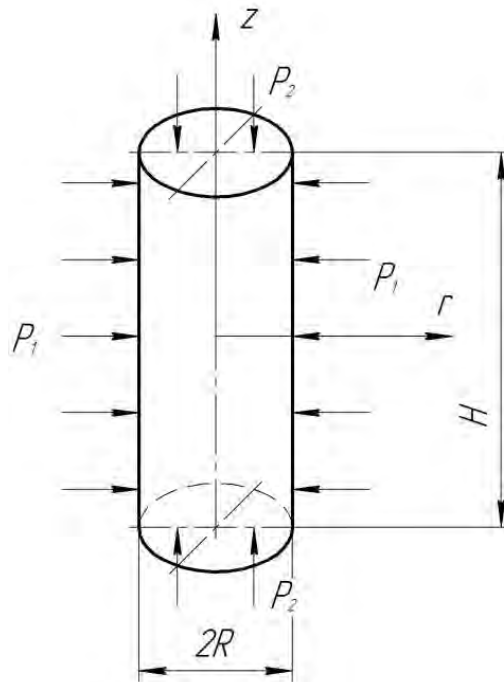


Рис. 1. Расчетная схема короткого цилиндра

В связи со спецификой заданных нагрузок и с учетом физической и геометрической симметрии напряженно-деформированного состояния (НДС) короткого цилиндра можно оценить, реализовав осесимметричную задачу теории упругости с учетом теплового и радиационного воздействия. Задача рассматривается в несвязанной постановке.

Дифференциальные уравнения (ДУ) равновесия имеют вид:

$$\begin{cases} \frac{\partial \sigma_r}{\partial r} + \frac{\sigma_r - \sigma_\theta}{r} + \frac{\partial \tau_{rz}}{\partial z} = 0, \\ \frac{\partial \sigma_z}{\partial z} + \frac{\tau_{rz}}{r} + \frac{\partial \tau_{rz}}{\partial r} = 0, \end{cases} \quad (1)$$

где $\sigma_r, \sigma_\theta, \sigma_z$ - радиальное, окружное и осевое напряжение, r – переменный радиус.

Граничные условия задачи:

$$\begin{aligned} \text{при } r = 0: u_r = 0, \quad \frac{\partial u_z}{\partial r} = 0, \quad \text{при } r = R: \sigma_r = -P_1, \quad \tau_{rz} = 0, \\ \text{при } z = 0: u_z = 0, \quad \tau_{rz} = 0, \quad \text{при } z = H: \sigma_z = -P_2, \quad \tau_{rz} = 0, \end{aligned} \quad (2)$$

где P_1, P_2 – внешнее давление на боковой и торцевой поверхности соответственно.

Эмпирическая функция радиационного распухания, являющаяся функцией времени и температуры, принимается согласно [1]:

$$S(T(r), t) = 4,9 \cdot 10^{-51} \cdot (\Phi \cdot t)^{1,71} \cdot 10^{\frac{15490}{T} - \frac{5,9810^6}{T^2}}, \quad (3)$$

где t – время, Φ – нейтронный поток, T – температурное поле как функция координаты r :

$$T(r, z) = T_s + \frac{q_v}{4\lambda} (R^2 - r^2), \quad (4)$$

T_s - температура на наружной поверхности, q_v - объемное тепловыделение, являющееся функцией координаты z , λ - коэффициент теплопроводности материала,

$q_v = \bar{q}_v \cdot K_z \cdot \cos\left(\frac{\pi H}{H + 2H_0} \cdot \frac{z}{H}\right)$, где $\bar{q}_v = 2,234 \cdot 10^8 \frac{\text{Вт}}{\text{м} \cdot \text{град}}$ - внутренний объемный источник тепловыделения, $T_s = 700^\circ \text{C}$.

Материал стержня – аустенитная нержавеющая сталь ОХ16Н15М3Б [1]. Для проведения расчетов принимаем: $K_z = 1,2$, $\Phi = 2,81 \cdot 10^{19}$ нейтр./ $(\text{см}^2 \cdot \text{ч})$, $\alpha = 16 \cdot 10^{-6}$ град $^{-1}$, $\nu = 0,3$, $E = 1,5 \cdot 10^{11}$ Па, $\lambda = 12$ Вт/(м·град). Размеры цилиндра: $H = 40$ мм, $R = 5$ мм. Поверхности температурного поля и радиационного распухания для момента времени 1000 ч приведены на рис. 2.

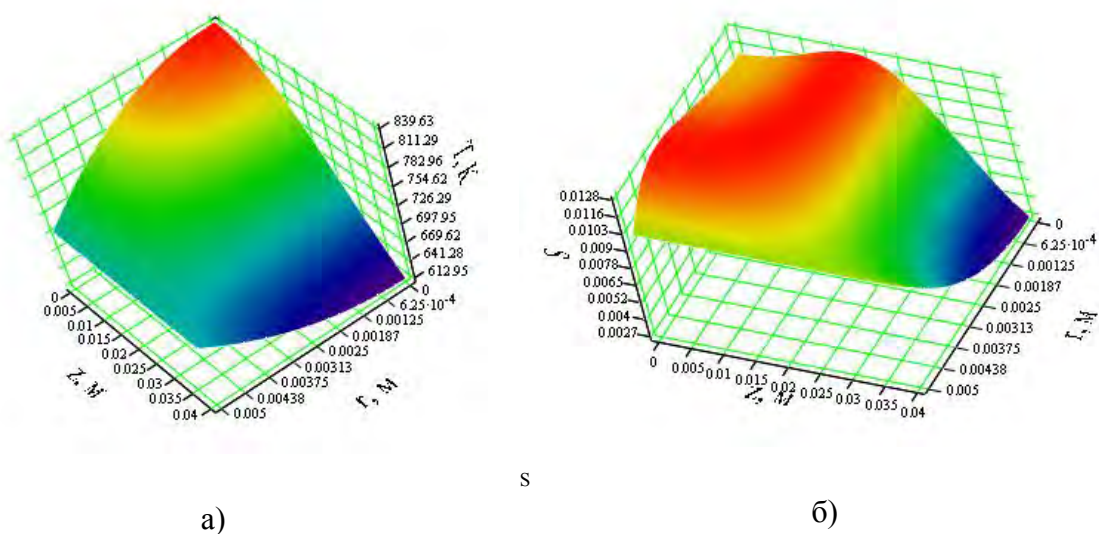


Рис. 2. Поверхности температуры (а) и радиационного распухания (б) для стали ОХ16Н15М3Б в момент времени 1000 часов

Уравнения обобщенного закона Гука при механическом, температурном и радиа-

ционном нагружении:

$$\begin{aligned}
 \varepsilon_r &= \frac{1}{E}(\sigma_r - \nu(\sigma_\theta + \sigma_z)) + \alpha \cdot T(r, z) + \frac{S(r, z)}{3}, \\
 \varepsilon_\theta &= \frac{1}{E}(\sigma_\theta - \nu(\sigma_r + \sigma_z)) + \alpha \cdot T(r, z) + \frac{S(r, z)}{3}, \\
 \varepsilon_z &= \frac{1}{E}(\sigma_z - \nu(\sigma_\theta + \sigma_r)) + \alpha \cdot T(r, z) + \frac{S(r, z)}{3}, \\
 \gamma_{rz} &= \frac{\tau_{rz}}{G},
 \end{aligned} \tag{5}$$

где α – коэффициент линейного расширения материала, $G = \frac{E}{2(1+\nu)}$ – модуль сдвига.

Геометрические соотношения Коши, связывающие перемещения и деформации, следующие:

$$\varepsilon_r = \frac{\partial u_r}{\partial r}, \quad \varepsilon_\theta = \frac{u_r}{r}, \quad \varepsilon_z = \frac{\partial u_z}{\partial z}, \quad \gamma_{rz} = \frac{\partial u_r}{\partial z} + \frac{\partial u_z}{\partial r} \tag{6}$$

Выразив компоненты напряжений рассматриваемой задачи через перемещения u_r, u_z , и решая совместно (5) и (6), получены выражения для напряжений:

$$\begin{aligned}
 \sigma_r &= E \cdot \left[\frac{1-\nu}{(1+\nu)(1-2\nu)} \frac{\partial u_r}{\partial r} + \frac{\nu}{(1-2\nu)(1+\nu)} \frac{\partial u_z}{\partial z} + \frac{\nu}{(1-2\nu)(1+\nu)} \frac{u_r}{r} - \right. \\
 &\quad \left. - \frac{1}{1-2\nu} \left(\alpha \cdot T(r, z) + \frac{S(r, z)}{3} \right) \right], \\
 \sigma_\theta &= E \cdot \left[\frac{\nu}{(1-2\nu)(1+\nu)} \frac{\partial u_z}{\partial z} + \frac{\nu}{(1-2\nu)(1+\nu)} \frac{\partial u_r}{\partial r} + \frac{1-\nu}{(1-2\nu)(1+\nu)} \frac{u_r}{r} - \right. \\
 &\quad \left. - \frac{1}{1-2\nu} \left(\alpha \cdot T(r, z) + \frac{S(r, z)}{3} \right) \right], \\
 \sigma_z &= E \cdot \left[\frac{(1-\nu)}{(1+\nu)(1-2\nu)} \frac{\partial u_z}{\partial z} + \frac{\nu}{(1+\nu)(1-2\nu)} \frac{\partial u_r}{\partial r} + \frac{\nu}{(1+\nu)(1-2\nu)} \frac{u_r}{r} - \right. \\
 &\quad \left. - \frac{1}{1-2\nu} \left(\alpha \cdot T(r, z) + \frac{S(r, z)}{3} \right) \right], \\
 \tau_{rz} &= \frac{E}{2(1+\nu)} \left(\frac{\partial u_r}{\partial z} + \frac{\partial u_z}{\partial r} \right).
 \end{aligned} \tag{7}$$

С учетом этих выражений ДУ равновесия (1) запишем в виде системы уравнений второго порядка в перемещениях:

$$\begin{aligned}
& \frac{1-\nu}{(1+\nu)(1-2\nu)} \frac{\partial^2 u_r}{\partial r^2} + \frac{\nu}{2(1-2\nu)(1+\nu)} \frac{\partial^2 u_z}{\partial r \partial z} - \frac{1-\nu}{(1+\nu)(1-2\nu)} \frac{1}{r} \frac{\partial u_r}{\partial r} - \\
& - \frac{1-\nu}{(1+\nu)(1-2\nu)} \frac{u_r}{r^2} + \frac{1}{2(1+\nu)} \frac{\partial^2 u_r}{\partial z^2} - \frac{1}{1-2\nu} \alpha \cdot \frac{\partial T}{\partial r} - \frac{1}{1-2\nu} \cdot \frac{\partial S}{\partial r} = 0, \\
& \frac{(1-\nu)}{(1+\nu)(1-2\nu)} \frac{\partial^2 u_z}{\partial z^2} + \frac{\nu}{2(1+\nu)(1-2\nu)} \frac{\partial^2 u_r}{\partial z \partial r} + \frac{\nu}{2(1+\nu)(1-2\nu)} \frac{1}{r} \frac{\partial u_r}{\partial z} + \\
& + \frac{1}{2(1+\nu)} \frac{1}{r} \frac{\partial u_z}{\partial r} + \frac{1}{2(1+\nu)} \frac{\partial^2 u_z}{\partial r^2} - \frac{1}{(1-2\nu)} \alpha \cdot \frac{\partial T}{\partial z} - \frac{1}{(1-2\nu)} \cdot \frac{1}{3} \frac{\partial S}{\partial z} = 0.
\end{aligned} \tag{8}$$

Решение такой системы ДУ второго порядка в частных производных возможно только численным путем. Для ее решения воспользуемся методом конечных разностей (МКР), который позволяет перейти от систем ДУ к их аналогам – системе алгебраических уравнений с неизвестными значениями перемещений u_r, u_z в контурных и внутриконтурных точках, применив пошаговое разбиение по времени и составив конечно-разностные уравнения для каждого из временных шагов (рис. 3).

Тогда система конечно-разностных аналогов уравнений (8) для внутренних точек области примет вид:

$$\left\{ \begin{aligned}
& \frac{1-\nu}{(1+\nu)(1-2\nu)} \cdot \frac{u_{r(i+1,j)} - 2u_{r(i,j)} + u_{r(i-1,j)}}{(\Delta r)^2} + \\
& + \frac{1}{2 \cdot (1+\nu) \cdot (1-2\nu)} \cdot \frac{u_{z(i+1,j+1)} - u_{z(i-1,j+1)} - u_{z(i+1,j-1)} + u_{z(i-1,j-1)}}{4 \cdot \Delta z \cdot \Delta r} + \\
& + \frac{1-\nu}{(1+\nu) \cdot (1-2\nu)} \cdot \frac{1}{r_i} \cdot \frac{u_{r(i+1,j)} - u_{r(i-1,j)}}{2\Delta r} + \frac{1}{2 \cdot (1+\nu)} \cdot \frac{u_{z(i,j+1)} - 2u_{z(i,j)} + u_{z(i,j-1)}}{(\Delta z)^2} - \\
& - \frac{1}{1+\nu} \frac{u_{r(i,j)}}{r_i^2} = \alpha \cdot \frac{1}{1-2\nu} \frac{T_{(i+1,j)} - T_{(i-1,j)}}{2 \cdot \Delta r} + \frac{1}{3} \cdot \frac{1}{1-2\nu} \frac{S_{(i+1,j)} - S_{(i-1,j)}}{2 \cdot \Delta r}, \\
& \frac{1-\nu}{(1+\nu) \cdot (1-2\nu)} \cdot \frac{u_{z(i+1,j)} - 2u_{z(i,j)} + u_{z(i-1,j)}}{(\Delta z)^2} + \\
& + \frac{\nu}{2(1+\nu)(1-2\nu)} \cdot \frac{u_{r(i+1,j+1)} - u_{r(i-1,j+1)} - u_{r(i+1,j-1)} + u_{r(i-1,j-1)}}{4 \cdot \Delta z \cdot \Delta r} + \\
& + \frac{\nu}{(1+\nu) \cdot (1-2\nu)} \cdot \frac{1}{r_i} \cdot \frac{u_{r(i,j+1)} - u_{r(i,j-1)}}{2\Delta z} + \\
& + \frac{1}{2 \cdot (1+\nu)} \cdot \frac{u_{z(i+1,j)} - 2u_{z(i,j)} + u_{z(i-1,j)}}{(\Delta r)^2} + \frac{1}{2(1+\nu)} \cdot \frac{1}{r_i} \cdot \frac{u_{z(i+1,j)} - u_{z(i-1,j)}}{2\Delta r} = \\
& = \alpha \cdot \frac{1}{(1-2\nu)} \frac{T_{(i,j+1)} - T_{(i,j-1)}}{2 \cdot \Delta z} + \frac{1}{3} \frac{1}{(1-2\nu)} \cdot \frac{S_{(i,j+1)} - S_{(i,j-1)}}{2 \cdot \Delta z}.
\end{aligned} \right. \tag{9}$$

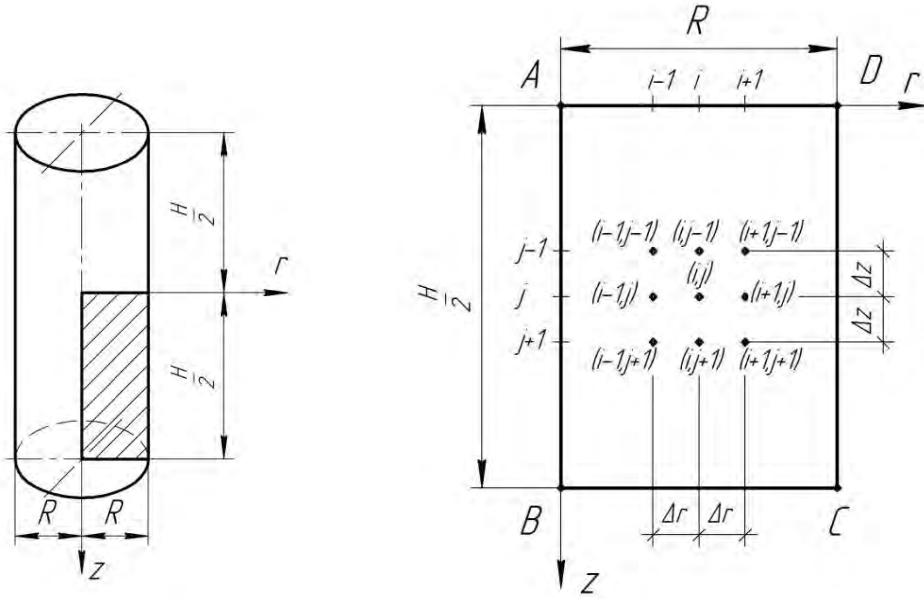


Рис. 3. Координатная сетка для построения конечно-разностных уравнений

Запишем граничные условия для контурных точек области в конечных разностях:

при $r = 0$ (сторона AB): $u_{r(1,j)} = 0$, $\frac{u_{z(2,j)} - u_{z(1,j)}}{2 \cdot \Delta r} = 0$,

при $z = 0$ (сторона AD):

$$u_{z(i,1)} = 0, \quad \frac{u_{r(i,2)} - u_{r(i,1)}}{\Delta z} + \frac{u_{z(i+1,1)} - u_{z(i-1,1)}}{2\Delta r} = 0,$$

при $r = R$ (сторона CD):

$$\frac{u_{r(n,j+1)} - u_{r(n,j-1)}}{\Delta z} + \frac{u_{z(n,j)} - u_{z(n-1,j)}}{\Delta r} = 0,$$

$$\frac{1-\nu}{(1+\nu) \cdot (1-2\nu)} \cdot \frac{u_{r(n,j)} - u_{r(n-1,j)}}{\Delta r} +$$

$$+ \frac{\nu}{(1+\nu) \cdot (1-2\nu)} \cdot \frac{u_{z(n,j+1)} - u_{z(n,j-1)}}{2\Delta z} +$$

$$+ \frac{\nu}{(1+\nu) \cdot (1-2\nu)} \cdot \frac{u_{r(n,j)}}{r_n} = -\frac{P_1}{E} + \frac{1}{1-2\nu} \cdot \left(\alpha \cdot T_{(n,j)} + \frac{S_{(n,j)}}{3} \right),$$

(10)

при $z = H/2$ (сторона BC):

$$\frac{u_{r(i,m)} - u_{r(i,m-1)}}{\Delta z} + \frac{u_{z(i+1,m)} - u_{z(i-1,m)}}{2\Delta r} = 0,$$

$$E \cdot \frac{1-\nu}{(1+\nu) \cdot (1-2\nu)} \cdot \frac{u_{z(i,m)} - u_{z(i,m-1)}}{\Delta z} + E \cdot \frac{\nu}{(1+\nu)(1-2\nu)} \cdot \frac{u_{r(i+1,m)} - u_{r(i-1,m)}}{2\Delta r} +$$

$$+ E \cdot \frac{\nu}{(1+\nu) \cdot (1-2\nu)} \cdot \frac{u_{r(i,m)}}{r_i} = -P_2 + E \cdot \frac{1}{1-2\nu} \cdot \left(\alpha \cdot T_{(i,m)} + \frac{S_{(i,m)}}{3} \right).$$

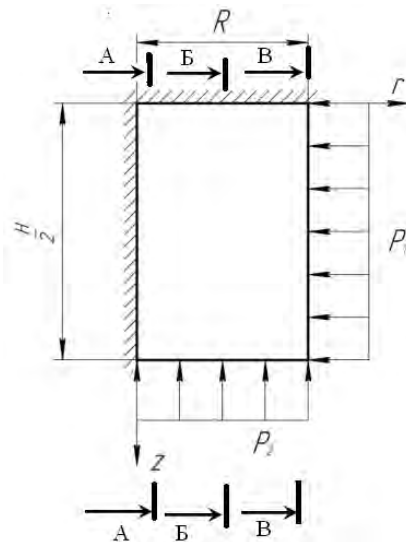


Рис. 4. Расчетная схема для определения граничных условий

Получены выражения осевых и радиальных перемещений для контурных точек области в конечных разностях с использованием граничных условий. Расчет контурных значений неизвестных перемещений проводится через контурные и внутриконтурные точки, что позволило снизить объем вычислительных операций и шаг сетки.

Решение системы уравнений, включающей неизвестные значения перемещений u_r, u_z в контурных и внутриконтурных точках, проводится в среде MathCAD 15. Для этого разработана соответствующая программа, позволяющая получать численное решение системы ДУ (9) с граничными условиями (10). Программа предоставляет возможность пользователю варьировать не только характеристиками материала и внешними воздействиями, но и шагом сетки и граничными условиями, что значительно расширяет возможности ее применения.

Получены значения компонент напряжения $\sigma_r, \sigma_\theta, \sigma_z$ и деформаций $\varepsilon_r, \varepsilon_\theta, \varepsilon_z, \gamma_{rz}$ в зависимости от координат r и z . Исследована их зависимость от времени облучения и свойств материала. Кроме того, проведено исследование влияния температуры и облучения на напряжения, деформации и перемещения.

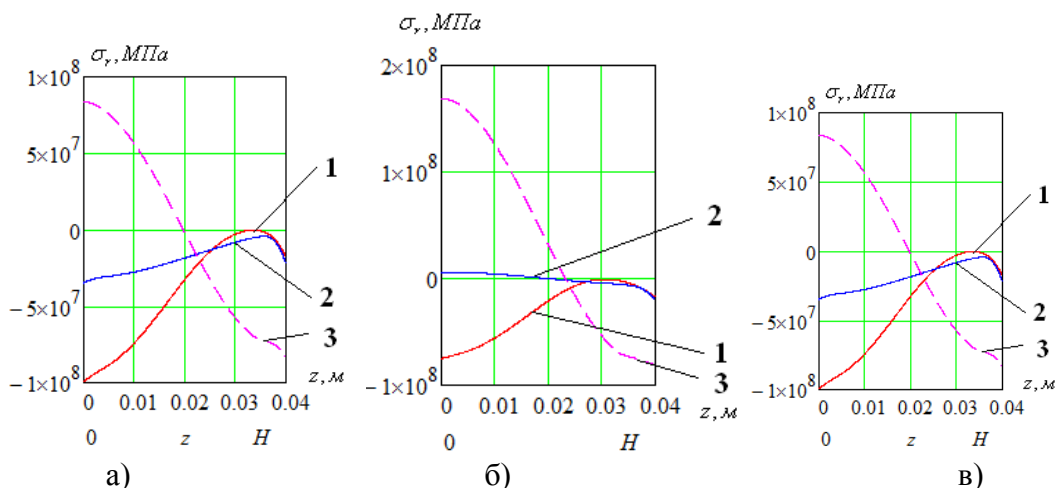


Рис. 5. Зависимости напряжений от координаты z в различных сечениях (рис. 4) при $t = 1000$ ч: 1 – сечение А-А 2 – сечение Б-Б 3 – сечение В-В

Проведено решение некоторых тестовых задач. Достоверность результатов ввиду отсутствия аналитических решений такого рода задач проверялась при отдельном механическом и температурном нагружении. Сравнение результатов с аналитическим ре-

шением задач теории упругости и термоупругости [2 - 5] подтвердило достоверность конечно-разностных схем. При шаге сетки $k > 20$ погрешность численного расчета не превышает 0,3 %.

Для проверки на согласованность точное решение в соответствии с [2 - 5] подставлялось в конечно-разностные уравнения с последующим разложением всех узловых значений в ряд Тейлора. Полученное выражение состоит из исходного дифференциального уравнения и некоторого остаточного члена. Так как остаточный член стремится к нулю при уменьшении шага сетки, то согласованность конечно-разностной схемы обеспечена. Устойчивость конечно-разностных схем проверялась методом фон Неймана. В соответствии с теоремой Лакса, сходимость конечно-разностных схем обеспечена ввиду одновременного выполнения условий согласованности и устойчивости.

Полученные результаты могут быть использованы при разработке и создании новых конструкций, а также позволят оптимизировать геометрические параметры существующих конструктивных элементов при силовых и терморadiационных воздействиях.

ЛИТЕРАТУРА

1. Куликов, И.С., и др. Прочность тепловыделяющих элементов быстрых газоохлаждаемых реакторов / И.С. Куликов, Б.Е. Тверковкин. – Мн., 1984. – 143 с.
2. Тимошенко, С.П., и др. Теория упругости / С.П. Тимошенко, Дж. Гудьер. – М., 1979. – 576 с.
3. Коваленко, А.Д. Основы термоупругости / А.Д. Коваленко. - Киев: Наукова думка, 1970. – 239 с.
4. Лыков, А.В. Теория теплопроводности / А.В. Лыков. - М.: Высшая школа, 1967 г. - 599 с.
5. Юдаев, Б.Н. Теплопередача / Б.Н. Юдаев. - 2-е изд., перераб. и доп. - М.: Высш. школа, 1981. - 319 с.

E-mail: vmhvisevich@bstu.by
vai_mrtm@bstu.by
vitaly19@mail.ru.

Поступила в редакцию 06.10.2016